

القای آسیب ژنتیکی در ماسل آب شیرین *Anodonta cygnea* تحت مواجده با نانو اکسید روی

- حدیثه کشیری*: گروه شیلات، دانشکده شیلات و محیط زیست، دانشگاه علوم کشاورزی و منابع طبیعی گرگان، صندوق پستی: ۴۸۷-۴۱۷۵
- سارا جعفری کناری: گروه شیلات، دانشکده شیلات و محیط زیست، دانشگاه علوم کشاورزی و منابع طبیعی گرگان، صندوق پستی: ۴۸۷-۴۱۷۵
- امیر قادر مرزی: گروه شیلات، دانشکده شیلات و محیط زیست، دانشگاه علوم کشاورزی و منابع طبیعی گرگان، صندوق پستی: ۴۸۷-۴۱۷۵

تاریخ دریافت: بهمن ۱۳۹۶ تاریخ پذیرش: اردیبهشت ۱۳۹۷

چکیده

با توجه به کاربردهای زیستی گسترده نانوذرات روی طی سال‌های اخیر، نگرانی‌های جدی در خصوص اثرات این مواد بر سلامت محیط زیست ایجاد گشته است. در پژوهش حاضر، به ارزیابی پتانسیل ژنوتوكسیک نانوذرات اکسید روی در ماسل *Anodonta cygnea* به عنوان گونه‌ای با اهمیت اکولوژیکی بالا پرداخته شد. بدین‌منظور، ماسل‌ها به مدت ۱۴ روز در معرض غلظت‌های ۰، ۲۵، ۵۰ و ۵۰ میلی‌گرم بر لیتر نانو اکسید روی قرار گرفتند. جهت ارزیابی آسیب DNA از طریق الکتروفورز ژل سلول منفرد، از بافت‌های آبشش و هپاتوپانکراس طی روزهای ۷ و ۱۴ مواجده نمونه‌برداری به عمل آمد. هم‌چنین آزمون ریزه‌سته‌ها با استفاده از بافت آبشش ماسل‌ها طی روزهای ۷ و ۱۴ انجام و فراوانی ریزه‌سته‌ها تعیین گردید. با توجه به نتایج، مواجده با نانوذرات اکسید روی منجر به القای بروز ریزه‌سته‌ها و آسیب DNA در *A. cygnea* گردید به‌نحوی که فراوانی ریزه‌سته‌ها و مقادیر پارامترهای طول، مومنتوم و درصد DNA دنباله و هم‌چنین شاخص آسیب ژنتیکی در تمامی تیمارهای مواجده یافته با نانوذرات اکسید روی در مقایسه با گروه شاهد افزایش یافت. هم‌چنین با افزایش غلظت و زمان مواجده با نانوذرات اکسید روی، روند افزایشی در میزان آسیب وارد شده مشاهده شد. در مقایسه بین بافت‌های مورد بررسی نیز، بافت هپاتوپانکراس حساسیت بالاتری نسبت به سمیت ژنتیکی نانو اکسید روی نشان داد. با توجه به نتایج حاصل از پژوهش حاضر می‌توان بیان داشت که نانو اکسید روی دارای اثرات ژنوتوكسیک بالقوه بر ماسل *A. cygnea* می‌باشد.

کلمات کلیدی: سیب DNA، ریزه‌سته، ماسل، نانو اکسید روی



مقدمه

در این راستا ابهامات زیادی درباره سرنوشت و سمیت نانوذرات در محیط زیست وجود دارد (Daughton et al., 2004). در آب شیرین و لب‌شور دنیا برخوردار بوده و دارای نقش اکولوژیکی مهمی در عملکرد اکوسیستم‌های آبی می‌باشد که از آن جمله می‌توان به کاهش دورت آب، کنترل مقدار و ترکیب ذرات معلق، انتقال یابی‌موس از ستون آب به بنتوز و چربخش عناصر غذایی اشاره داشت (Vaughn et al., 2010). در حال حاضر ماسلهای Unionid جزو گروههای جانوری در معرض تهدید در سراسر دنیا محسوب می‌گردند (Lydeard et al., 2004; Simberloff et al., 2012). درین اعضا خانواده Unionidae، گونه *Anodonta cygnea* به عنوان Chojnacki (2011) از بزرگترین ماسلهای آب شیرین مطرح می‌باشد و همکاران، 2015) بیان داشتند که نانوذرات اکسیداتیو در ماسل *Unio tumidus* گردد. به منظور بررسی اثرات ناشی از مواجهه با آلینده‌های محیطی بر آبزیان، روش‌ها و نشانگرهای مختلفی مورد ارزیابی قرار می‌گیرند. در این میان، بررسی تغییرات DNA در موجودات آبزی روشنی بسیار سودمند جهت ارزیابی اثرات ژنتوکسیک آلینده‌ها می‌باشد (Scalon et al., 2010). در این راستا، الکتروفورز سلول‌های منفرد (آزمون کامت) به عنوان روشنی حساس و ساده، کاربرد گسترده‌ای در ارزیابی آسیب‌های وارد شده به DNA یافته است (Dhawan et al., 2009). در واقع، آزمون کامت روشنی قابل اعتماد و سریع بوده که حتی قادر به شناسایی سطوح پایین تخریب DNA نیز می‌باشد (Ullah et al., 2016). در این روش، شناسایی آسیب وارد به DNA مبتنی بر مهاجرت قطعات آسیب دیده از هسته سلول می‌باشد (Mizuno et al., 2015). ارزیابی ریزه‌سته‌ها نیز به عنوان یکی از روش‌های شناسایی آسیب‌های سیتوژنتیک مطرح می‌باشد. ریزه‌سته‌ها قطعات کروموزومی هستند که طی مرحله آنافاز تقسیم سلولی به سلول‌های دختر منتقل نشده و در سیتوپلاسم مادر باقی می‌مانند (Siu et al., 2004). ارزیابی این ریزه‌سته‌ها به عنوان روشنی کارآمد در تعیین اثرات ژنتوکسیک ترکیباتی با میزان پایین تجمع و همچنین به عنوان شاخصی برای آسیب‌های ژنتیکی وارد به سلول‌ها قلمداد می‌گردد (Gravato et al., 2003; Santos et al., 2008). در پژوهش حاضر با توجه به تولید و کاربرد گسترده نانوذرات روی در صنایع مختلف و همچنین عدم وجود اطلاعات کافی در خصوص پیامدهای حضور این مواد در طبیعت، اثرات ژنتوکسیک نانوذرات اکسید روی بر ماسل *A. cygnea* به عنوان یک معرف زیستی مطرح در آلودگی‌های زیست محیطی، با استفاده از الکتروفورز ژل سلول منفرد و آزمون ریزه‌سته‌ها مورد ارزیابی قرار گرفت.

ماسلهای خانواده Unionidae از پراکنش بالایی در محیط‌های آب شیرین و لب‌شور دنیا برخوردار بوده و دارای نقش اکولوژیکی مهمی در عملکرد اکوسیستم‌های آبی می‌باشد که از آن جمله می‌توان به کاهش دورت آب، کنترل مقدار و ترکیب ذرات معلق، انتقال یابی‌موس از ستون آب به بنتوز و چربخش عناصر غذایی اشاره داشت (Sousa et al., 2012). در حال حاضر ماسلهای Unionid محسوب می‌گردد (Lydeard et al., 2004; Simberloff et al., 2012). درین اعضا خانواده Unionidae، گونه *Anodonta cygnea* به عنوان Chojnacki (2011) از بزرگترین ماسلهای آب شیرین مطرح می‌باشد و همکاران، 2015) بیان داشتند که نانوذرات اکسیداتیو در ماسل *Unio tumidus* گردد. به منظور بررسی اثرات ناشی از مواجهه با آلینده‌های محیطی بر آبزیان، روش‌ها و نشانگرهای مختلفی مورد ارزیابی قرار می‌گیرند، بستر حاصل خیز و همچنین عاری از گیاه را ترجیح داده و از مقاومت پایینی در برابر شرایط محیطی نامساعد برخوردار می‌باشد به نحوی که به عنوان یک معرف زیستی مناسب برای آب‌های سالم و پاکیزه قلمداد می‌گردد (Rosinska et al., 2009). در این راستا، یکی از دیگر ماده شیمیایی عاری از مواد شیمیایی (Chojnacki et al., 2009) به عنوان یکی از اثراخواه‌ها باشد که با آلودگی راهنمایی می‌گردد (Kopij et al., 2011). امروزه هزاران ماده شیمیایی وارد اکوسیستم‌های آبی می‌گردد که به عنوان یکی از دیگر ماده شیمیایی مربوط به رشد روزافرونه صنعت نانوفناوری می‌باشد (Dumont et al., 2015). طی سال‌های اخیر، نانوذرات فلزی به دلیل ویژگی‌های فیزیکی و شیمیایی منحصر به فردی همچون اندازه کوچک و نسبت سطح به حجم بالا کاربرد گسترده‌ای در صنایع مختلف یافته‌اند (Oberdorster et al., 2005). درین نانوذرات فلزی مختلف، نانوذرات اکسید روی با داشتن ویژگی‌های خاص به طور قابل توجهی در زمینه‌های مختلف مانند کشاورزی (Sabir et al., 2014)، داروسازی و پزشکی (Bogutska et al., 2013) و همچنین محصولات آرایشی و بهداشتی (به ویژه کرم‌های ضدآفات) (VROM, 2008) و همکاران، 2006) مورد استفاده قرار می‌گیرند. با توجه به کاربرد گسترده نانوذرات روی در محصولات مصرف‌کنندگان و همچنین احتمال بالای وجود این مواد در پساب‌های حاصله، نگرانی‌هایی درخصوص اثرات بالقوه این مواد بر سلامت اکوسیستم‌های آبی ایجاد شده (Handy et al., 2008). چراکه بخش عمده این مواد همچون سایر پساب‌های صنعتی به اکوسیستم‌های آبی منتهی می‌گردد

مواد و روش‌ها

گاوی جنینی جهت جلوگیری از هضم آنزیمی اضافه شد. پس از سانتریفیوژ نمونه‌ها (درجه سانتی گراد، ۱۰ دقیقه، ۱۱۷۰ دور بر دقیقه)، ۱۰۰ میکرولیتر بافر هموژنایزر شامل ۰/۸ گرم کلرید سدیم، ۰/۰۲ گرم کلرید پتاسیم، ۰/۱۴ گرم دی‌سدیم‌هیدروژن فسفات و مجدداً سانتریفیوژ (۴ درجه سانتی گراد، ۷ دقیقه، ۱۱۳۰ دور بر دقیقه) انجام گرفت. پس از آن، ۱۰ میکرولیتر هموژنایزر و ۱۰۰ میکرولیتر آگارز نقطه ذوب پایین (ذوب شده) با دمای ۳۷–۴۰ درجه سانتی گراد اضافه و محتویات به دست آمده بر روی لامهای پوشیده شده با آگارز نرمال (۱/۲) بارگذاری شدند. لامها به مدت ۱ ساعت در دمای ۴ درجه سانتی گراد قرار گرفتند. پس از تیمار لامها با بافر لاپزیز (۱۴/۱ گرم کلرید سدیم، ۳/۷۲۲ گرم اتیلن دی‌آمین‌تتراستیک اسید، ۱۲/۰ گرم دی‌سدیم و ۰/۸ گرم هیدروکسید سدیم) به مدت ۱ ساعت در دمای ۴ درجه سانتی گراد و شستشو با آب مقطر، الکتروفورز با جریان ۲۱ ولت به مدت ۲۰ دقیقه انجام گرفت. بافر الکتروولیت جهت الکتروفورز شامل ۱۲ گرم هیدروکسید سدیم و ۰/۳۷۲ گرم اتیلن دی‌آمین‌تتراستیک اسید بود. پس از اتمام الکتروفورز، لامها به مدت ۲ دقیقه با بافر خنثی (۴/۸ گرم تریپس، pH: ۷/۵) تیمار و به آرامی با آب مقطر شستشو داده شدند. در نهایت، لامها با استفاده از سایبرگرین رنگ آمیزی و ۱۰۰ سلول برای هر نمونه مورد بررسی قرار گرفت. پارامترهای آسیب DNA شامل طول، مومنتوم و درصد DNA دنباله با استفاده از نرمافزار CASP نسخه ۲،۰،۱ مورد ارزیابی قرار گرفت (Konca و همکاران، ۲۰۰۳). همچنین شاخص آسیب ژنتیکی (GDI) طبق فرمول زیر محاسبه گردید:

$$\text{GDI} = \text{TypeI} + 2(\text{TypeII}) + 3(\text{TypeIII}) + 4(\text{TypeIV}) / (\text{Type0} + \text{TypeI} + \text{TypeII} + \text{TypeIII} + \text{TypeI})$$

در این فرمول، Type0: انواع بدون آسیب و بدون دنباله، TypeI: دنباله ۱/۵ برابر قطره هسته، TypeII: دنباله ۱/۵ تا ۲ برابر قطره هسته، TypeIII: ۲ تا ۲/۵ برابر قطره هسته و TypeIV: حداقل آسیب می‌باشد.

آزمون ریزه‌سته‌ها: به منظور انجام آزمون ریزه‌سته‌ها، به طور خلاصه، رشتۀ‌های آبششی هر ماسل به طور جداگانه در یک قطره بزرگ از محلول اتانول استیک اسید (۳:۱) بر روی اسلامیدهای میکروسکوپی قرار داده شد و سپس به آرامی به مدت دو تا سه دقیقه با استفاده از قیچی خردگردید تا سلول‌هادر قطره پخش شوند. پس از آن، گسترشی از سوسپانسیون سلولی به آرامی بر روی سطح اسلامید تهیه شد. سپس اسلامیدها طی شب در معرض هوا خشک و با استفاده از متابول مطلق به مدت ۱۰ دقیقه فیکس شدند. اسلامیدها با استفاده از محلول گیمسا (۵٪) رنگ آمیزی شدند. در نهایت، نمونه‌ها با استفاده از میکروسکوپ Nikon، TS100-F، (ژاپن) بررسی و فراوانی ریزه‌سته‌ها در هزار اریتروسیت به‌ازای هر نمونه ثبت گردید (Eskandari و همکاران، ۲۰۱۲).

تهیه و نگهداری ماسل‌ها: ماسل‌ها (*Anodonta cygnea*) از مصب رودخانه تجن (سمسکنده، استان مازندران) جمع‌آوری و به سالن آبری پروری دانشگاه علوم کشاورزی و منابع طبیعی گرگان منتقال داده شدند. ماسل‌ها به منظور سازگاری با شرایط جدید، به مدت دو هفته در آکواریوم‌های شیشه‌ای (حجم ۶۰ لیتر) حاوی آب شهری کلرزاوی شده نگهداری شدند. متوسط وزن و طول ماسل‌ها به ترتیب ۷±۸۰ گرم و ۱۰±۰/۸ سانتی‌متر بود. تغذیه ماسل‌ها به صورت روزانه ۷×۳ سلول بر لیتر (*Chlorella vulgaris* ۱۰±۱) با استفاده از جلبک اولتراسونیک در ۷/۰±۴/۴ pH بین شرح بود: دما ۲۲±۱ درجه سانتی گراد، ۷/۰±۴/۴ pH، اکسیژن محلول ۷/۶±۰/۳۱ و سختی آب ۲۵۷±۵/۱.

تهیه نانوذرات اکسید روی: نانوذرات اکسید روی (US Research Nanomaterials, Inc., Zinc Oxide Nanopowder, ZnO، ۹۹٪، ۲۰ نانومتر، آمریکا) از شرکت پیشگامان نانومواد ایرانیان تهیه گردید. نانوذرات از طریق اولتراسونیک در ۴۰۰ دور بر دقیقه به مدت ۲۰ دقیقه در آب مقطر (۲۰۰ میلی‌گرم بر لیتر) پخش و همگن شدند. از آن جایی که نانوذرات پس از ۴۸ تا ۲۴ ساعت در محلول‌های آبی رسوب می‌یابند، تعلیق مجدد محلول ذخیره به طور روزانه از طریق هموژنایزر (۱۴۰۰۰ دور بر دقیقه، ۱۵ دقیقه) صورت گرفت. پتانسیل زتا نانوذرات اکسید روی نیز از طریق پراکندگی نور دینامیکی (Dynamic Light Scattering=DLS) تعیین شد.

طراحی آزمایش: پس از پایان دوره سازگاری، ماسل‌ها به طور تصادفی به چهار گروه تقسیم شدند: یک گروه به عنوان شاهد (بدون نانوذرات اکسید روی) در نظر گرفته شد و سه گروه در معرض غلظت‌های تحت کشندۀ نانوذرات اکسید روی (۲/۵، ۲۵ و ۵۰ میلی‌گرم بر لیتر) قرار گرفتند. برای هر یک از تیمارهای مواجهه یافته با نانوذرات اکسید روی و همچنین گروه شاهد، سه تکرار در نظر گرفته شد (۷ نمونه برای هر تکرار)، طول مدت مواجهه ۱۴ روز بود و نمونه‌برداری طی روزهای ۷ و ۱۴ انجام پذیرفت. بین نمونه‌ها با استفاده از پودر گل میخک (۱ گرم بر لیتر) بی‌هوش شدند.

الکتروفورز ژل سلول منفرد: الکتروفورز ژل سلول منفرد (SCGE) بر اساس روش Singh و همکاران (۱۹۸۸) و Tice و همکاران (۲۰۰۰) با اندکی تغییر انجام پذیرفت. بین نمونه‌ها به طور خلاصه، پس از جداسازی و شستشوی بافت‌های هپاتوپانکراس و آپشن هر ماسل با محلول بافر نمکی فسفات (PBS)، سوسپانسیون سلولی با استفاده از قیچی و بافر PBS تهیه شد. پس از افزودن تریپسین-اتیلن دی‌آمین‌تتراستیک اسید (۰/۲۵٪) و مخلوط نمودن محتویات، سرم

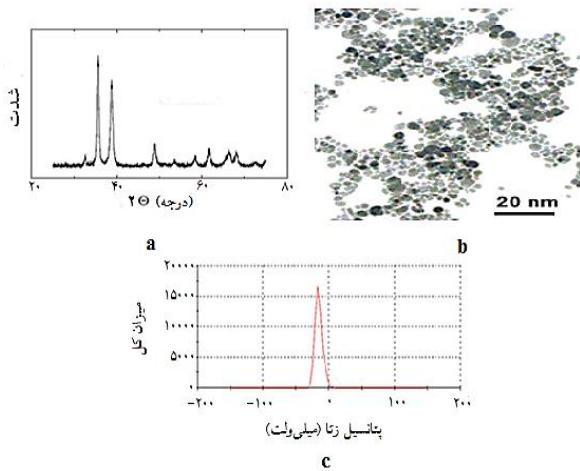


یافته با نانو اکسید روی نسبت به گروه شاهد به طور معنی داری افزایش یافت ($P<0.05$). تغییرات مشاهده در پارامترهای آسیب DNA وابسته به غلظت نانوذرات روی بود. در این راستا، با افزایش غلظت نانو اکسید روی افزایش معنی داری در طول و درصد DNA دنباله در هر دو زمان نمونه برداری مشاهده شد ($P<0.05$). مومنتوم دنباله نیز روند افزایشی مشابهی با افزایش غلظت نانوذرات روی نشان دادند که این افزایش بین تمامی تیمارها (به استثناء تیمارهای ۲۵ با 50 میلی‌گرم بر لیتر در روز چهاردهم) معنی دار بود ($P<0.05$). میزان شاخص آسیب ژنتیکی نیز با افزایش غلظت مواجهه افزایش یافت که البته افزایش مشاهده شده تنها بین تیمارهای $5/5$ و 50 میلی‌گرم بر لیتر در روز چهاردهم مواجهه معنی دار بود ($P<0.05$). در این خصوص، بالاترین سطح شاخص GDI، $84/11 \pm 0.0$ بود که در تیمار 50 میلی‌گرم بر لیتر نانو روی در روز چهاردهم مشاهده شد. در بررسی اثر زمان بر میزان آسیب وارد شده به DNA سلول های بافت آبیش، روند افزایشی در پارامترهای آسیب با گذشت زمان از 7 تا 14 روز مشاهده شد طوری که بالاترین سطح آسیب در روز چهاردهم ثبت گردید (طول DNA دنباله: $27/91 \pm 19/3$ ، مومنتوم دنباله: $43/12 \pm 37/1$ و درصد DNA دنباله: $91/46 \pm 0.7/3$). با این وجود، اثر زمان بر میزان آسیب القا شده تنها در پارامتر درصد DNA دنباله در تیمار 25 میلی‌گرم بر لیتر معنی دار بود ($P<0.05$). تغییرات مشاهده شده در میزان شاخص آسیب ژنتیکی از روز هفتم تا روز چهاردهم نیز معنی دار نبود ($P>0.05$). تغییرات پارامترهای آسیب DNA در سلول های بافت هپاتوپانکراس ماسل *A. cygnea* تحت مواجهه با نانوذرات اکسید روی در جدول 4 نشان داده شده است. جدول های 5 و 6 نیز نمایان گر کلاسه های کامت و تغییرات شاخص آسیب ژنتیکی در بافت هپاتوپانکراس می باشد. با توجه با نتایج، نانو ذرات اکسید روی موجب القای آسیب DNA در سلول های بافت هپاتوپانکراس شدند. بافت هپاتوپانکراس در مقایسه با بافت آبیش حساسیت بالاتری نسبت به سمی ژنتیکی نانو ذرات روی نشان داد به نحوی که سطح آسیب مشاهده شده در هپاتوپانکراس بالاتر از آبیش بود. همچنین میزان آسیب وارد به DNA سلول های هپاتوپانکراس کاملاً وابسته به غلظت و مدت زمان مواجهه بود که از این نظر روند تغییرات مشاهده شده مشابه با بافت آبیش بود. بالاترین مقادیر پارامترهای آسیب در هپاتوپانکراس در تیمار 50 میلی‌گرم بر لیتر نانوذرات روی در روز چهاردهم ثبت گردید. در این راستا، طول، مومنتوم و درصد DNA دنباله به ترتیب $29/65 \pm 19/1$ و $48/62 \pm 11/1$ ، $8/0.8 \pm 11/5$ و $29/65 \pm 11/3$ بین غلظت های مختلف مواجهه، تفاوت مشاهده شده از نظر پارامترهای آسیب DNA بین تیمارهای مختلف از نظر آماری معنی دار بود ($P<0.05$).

آنالیز آماری: داده های به دست آمده از آزمون کامت و تست میکرونوکلئوس از طریق آنالیز واریانس یک طرفه (ANOVA)، با استفاده از نرم افزار SPSS ۱۹ مورد تجزیه و تحلیل قرار گرفتند. برای مقایسات میانگین نیز از آزمون توکی در سطح خطای 5% استفاده شد.

نتایج

نانوذرات اکسید روی: شکل (a-c) نشان دهنده تصاویر TEM، X-Ray و پتانسیل زتابی نانوذرات اکسید روی می باشد. تصویر TEM حاکی از کروی بودن نانوذرات مورد استفاده می باشد. همچنین با توجه به تصویر X-Ray، بیشترین تراکم در نزدیکی 40° درجه مشاهده شد که مovid نانو بودن اندازه ذرات مورد استفاده می باشد. با توجه به دامنه پتانسیل زتابی مشاهده شده نیز می توان بیان داشت که نانوذرات اکسید روی به طور یکسان در محیط سیال پخش و هموژن شده اند.



شکل ۱: ویژگی های نانوذرات اکسید روی مورد استفاده در تحقیق حاضر؛ a، b و c به ترتیب نشان دهنده تصاویر TEM و پتانسیل زتابی نانوذرات اکسید روی می باشد.

آسیب DNA در آبیش و هپاتوپانکراس *A. cygnea*: سمتیت ژنتیکی نانوذرات اکسید روی در ماسل *A. cygnea* با استفاده از الکتروفورز ژل سلول منفرد مورد ارزیابی قرار گرفت. مقادیر پارامترهای آسیب DNA شامل طول و مومنتوم و درصد DNA دنباله برای بافت آبیش در جدول 1 نشان داده شده است. همچنین کلاسه های کامت شامل نوع 0 تا 4 آسیب و شاخص آسیب ژنتیکی (GDI) برای بافت آبیش در جدول های 2 و 3 آورده شده است. نتایج حاکی از آن بود که نانوذرات اکسید روی منجر به القای آسیب DNA در سلول های آبیش گردید به نحوی که مقادیر پارامترهای طول، مومنتوم و درصد DNA دنباله و همچنین شاخص GDI در تیمارهای مواجهه



زمان بر تغییرات پارامترهای آسیب (به استثناء پارامتر درصد DNA دنباله در تیمار ۲/۵ میلی‌گرم بر لیتر) از نظر آماری معنی‌دار نبود ($P > 0.05$).

بالاترین میزان شاخص آسیب ژنتیکی نیز $21/1\pm 3/8$ به دست آمد که مربوط به تیمار ۵ میلی‌گرم بر لیتر در روز چهاردهم بود. با وجود افزایش مشاهده شده در میزان آسیب وارد شده با گذشت زمان، اثر

جدول ۱: پارامترهای آسیب DNA در آبشنش ماسل *A. cygnea* A. تحت مواجهه با نانوذرات اکسید روی

درصد DNA دنباله	مومنتوم دنباله						طول دنباله
	روز ۱۴	روز ۷	روز ۱۴	روز ۷	روز ۱۴	روز ۷	
$9/16 \pm 1/40^d$	$\pm 8/8/2/42^d$	$0/52 \pm 0/04^c$	$0/45 \pm 0/09^d$	$5/23 \pm 1/14^d$	$4/67 \pm 1/57^d$		شاهد
$27/53 \pm 4/27^c$	$14/97 \pm 2/18^c$	$15/09 \pm 3/29^b$	$6/21 \pm 2/15^c$	$60/68 \pm 5/27^c$	$51/29 \pm 2/64^c$		۲/۵
$41/12 \pm 2/45^b$	$30/85 \pm 2/65^b$	$37/82 \pm 3/55^a$	$20/47 \pm 2/00^b$	$84/52 \pm 1/43^b$	$66/41 \pm 2/08^b$		۲۵
$46/91 \pm 3/07^a$	$35/47 \pm 0/95^a$	$43/12 \pm 1/37^a$	$31/74 \pm 1/12^a$	$91/27 \pm 3/19^a$	$79/34 \pm 2/15^a$		۵۰

مقادیر به صورت میانگین \pm انحراف معیار نشان داده شده است. حروف بالاترین متفاوت نشان‌دهنده اختلاف معنی‌دار بین تیمارها در یک زمان می‌باشد ($P < 0.05$).

جدول ۲: کلاسه‌های کامت و شاخص آسیب ژنتیکی در آبشنش ماسل *A. cygnea* A. پس از ۷ روز مواجهه با نانوذرات اکسید روی

شاخص آسیب ژنتیکی	Type 4	Type 3	Type 2	Type 1	Type 0	شاهد
$0/0 \pm 11/02^b$.	.	۲/۹۷	۵/۲	۹۱/۸۳	
$0/48 \pm 0/11^a$	۰/۹۳	۶/۷۲	۸/۲۷	۷/۶۳	۷۶/۴۵	۲/۵
$0/61 \pm 0/21^a$	۲/۱۶	۸/۵۶	۸/۴۸	۱۰/۴۱	۷۰/۳۹	۲۵
$0/72 \pm 0/19^a$	۴/۲۲	۶/۱۰	۱۲/۳۹	۱۲/۰۵	۶۵/۲۴	۵۰

جدول ۳: کلاسه‌های کامت و شاخص آسیب ژنتیکی در آبشنش ماسل *A. cygnea* A. پس از ۱۴ روز مواجهه با نانوذرات اکسید روی

شاخص آسیب ژنتیکی	Type 4	Type 3	Type 2	Type 1	Type 0	شاهد
$0/10 \pm 0/05^c$.	۰/۳۱	۲/۹۳	۳/۲۴	۹۳/۵۲	
$0/56 \pm 0/10^b$	۱/۳۹	۷/۴۳	۱۰/۵۷	۷/۵۱	۷۳/۱۰	۲/۵
$0/78 \pm 0/22^{ab}$	۴/۳۶	۱۱/۱۲	۸/۲۳	۱۱/۳۴	۶۴/۹۵	۲۵
$0/84 \pm 0/11^a$	۵/۸۵	۷/۸۰	۱۱/۴۳	۱۴/۷۴	۶۰/۱۸	۵۰

جدول ۴: پارامترهای آسیب DNA در هپاتوپانکراس ماسل *A. cygnea* A. تحت مواجهه با نانوذرات اکسید روی

درصد DNA دنباله	مومنتوم دنباله						طول دنباله
	روز ۱۴	روز ۷	روز ۱۴	روز ۷	روز ۱۴	روز ۷	
$9/2 \pm 5/2/42^d$	$9/09 \pm 1/75^d$	$0/61 \pm 0/13^d$	$0/57 \pm 0/11^d$	$6/19 \pm 0/56^d$	$5/74 \pm 0/92^d$		شاهد
$33/2 \pm 5/6/34^c$	$19/08 \pm 1/48^c$	$24/60 \pm 3/45^c$	$12/35 \pm 2/27^c$	$71/50 \pm 2/09^c$	$56/46 \pm 1/09^c$		۲/۵
$55/3 \pm 7/4/55^b$	$37/20 \pm 1/96^b$	$53/97 \pm 5/13^b$	$32/85 \pm 1/23^b$	$10/10 \pm 3/31^b$	$79/83 \pm 2/25^b$		۲۵
$58/48 \pm 1/19^a$	$50/71 \pm 3/00^a$	$66/29 \pm 2/65^a$	$48/00 \pm 2/00^a$	$11/58 \pm 3/08^a$	$96/28 \pm 3/23^a$		۵۰

مقادیر به صورت میانگین \pm انحراف معیار نشان داده شده است. حروف بالاترین متفاوت نشان‌دهنده اختلاف معنی‌دار بین تیمارها در یک زمان می‌باشد ($P < 0.05$).

جدول ۵: کلاسه‌های کامت و شاخص آسیب ژنتیکی در هپاتوپانکراس ماسل *A. cygnea* A. پس از ۷ روز مواجهه با نانوذرات اکسید روی

شاخص آسیب ژنتیکی	Type 4	Type 3	Type 2	Type 1	Type 0	شاهد
$0/09 \pm 0/02^c$.	.	۱/۸۸	۵/۹۵	۹۲/۳۷	
$0/53 \pm 0/11^b$	۰/۸۵	۶/۹۲	۱۲/۵۳	۴/۰۹	۷۵/۶۱	۲/۵
$0/72 \pm 0/13^a$	۲/۱۵	۵/۲۶	۱۵/۶۸	۱۶/۵۷	۶۰/۳۴	۲۵
$0/87 \pm 1^a$	۴/۱	۶/۳۲	۱۷/۴۸	۱۶/۸۲	۵۵/۲۸	۵۰

جدول ۶: کلاسه‌های کامت و شاخص آسیب ژنتیکی در هپاتوپانکراس ماسل *A. cygnea* A. پس از ۱۴ روز مواجهه با نانوذرات اکسید روی

شاخص آسیب ژنتیکی	Type 4	Type 3	Type 2	Type 1	Type 0	شاهد
$0/13 \pm 0/04^c$.	.	۳/۹۷	۵/۲	۹۰/۸۳	
$0/66 \pm 0/88^b$	۳/۵۴	۶/۴۱	۹/۶	۱۳/۲۶	۶۷/۱۹	۲/۵
$1/00 \pm 0/21^{ab}$	۵/۶۲	۱۳/۵۷	۱۲/۴۷	۱۲/۱۱	۵۶/۲۳	۲۵
$1/21 \pm 0/38^a$	۵/۸۵	۲۰/۲۷	۱۳/۸۷	۸/۶۱	۵۱/۴۰	۵۰



بالاترین میزان فراوانی $3/91 \pm 1/64$ به دست آمد که در تیمار ۵۰ میلی گرم بر لیتر در روز چهاردهم مشاهده شد. تغییرات مشاهده شده با افزایش غلظت تنها بین تیمارهای ۲/۵ و ۵۰ میلی گرم بر لیتر معنی‌دار بود ($P < 0.05$). مقایسه تیمارها در دو زمان مورد بررسی نیز حاکی از تغییرات وابسته به زمان در فراوانی ریزهسته‌ها در سلول‌های آبشیشی *A. cygnea* بود به نحوی که با افزایش مدت زمان مواجهه از ۷ تا ۱۴ روز، فراوانی ریزهسته‌ها نیز افزایش یافت ($P < 0.05$).

فراوانی ریزهسته‌ها: فراوانی ریزهسته‌ها و تغییرات آن‌ها در تیمارهای مختلف طی زمان‌های مورد بررسی در جدول ۷ آورده شده است. مواجهه با غلظت‌های تحت کشنده نانوذرات اکسید روی منجر به القای بروز ریزهسته‌ها در سلول‌های آبشیشی *A. cygnea* گردید به نحوی که فراوانی ریزهسته‌ها در تیمارهای مواجهه یافته با نانو اکسید روی افزایش معنی‌داری در مقایسه با تیمار شاهد نشان داد ($P < 0.05$). همچنین، بروز ریزهسته‌ها با افزایش غلظت نانوذرات روی روند افزایشی در هر دو زمان مورد بررسی نشان داد. در این خصوص،

جدول ۷: فراوانی ریزهسته‌ها در سلول‌های آبشیشی ماسل *A. cygnea* تحت مواجهه با نانو ذرات اکسید روی

	۱۴	۷	شاهد
	$0/21 \pm 0/07^c$	$0/16 \pm 0/03^c$	
	$2/50 \pm 0/81^b$	$1/93 \pm 0/29^b$	۲/۵
	$3/82 \pm 2/06^{ab}$	$3/06 \pm 1/72^{ab}$	۲۵
	$3/91 \pm 1/64^a$	$3/48 \pm 1/43^a$	۵۰

مقادیر به صورت میانگین ± انحراف معیار نشان داده شده است. حروف بالاترین متفاوت نشان‌دهنده اختلاف معنی‌دار بین تیمارها در یک زمان می‌باشد ($P < 0.05$).

حاضر مبنی بر القای آسیب DNA تحت مواجهه با نانوذرات روی در تطابق با یافته‌های حاصل از مطالعات پیشین روی ماهی *Danio rerio* (Zhao و همکاران، ۲۰۱۳)، ماسل *Elliptio complanata* و Gagne (Mytilus galloprovincialis و Gagnon، ۲۰۱۶) و همکاران، ۲۰۱۶ می‌باشد. درخصوص مکانیسم ژنوتوكسیسیتی نانوذرات (Li، ۲۰۱۶) می‌باشد. در این اطلاعات چندانی وجود ندارد، این در حالیست که روی در آبزیان اطلاعات چندانی وجود ندارد، این در حالیست که برخی مدل‌های بالقوه برای پستانداران شناسایی شده است. بر این اساس، مکانیسم احتمالی سمیت ژنتیکی نانوذرات روی را می‌توان به دو صورت مستقیم (اثر مستقیم بر ساختار DNA یا سیستم ترمیمی آن) و غیر مستقیم (القای واسطه‌ها) در نظر گرفت. نانوذرات ممکن است به طور مستقیم با DNA هسته باند شده و موجب القای آسیب به آن گردد (Li و همکاران، ۲۰۱۳؛ Ma و همکاران، ۲۰۱۶). این در حالیست که Xia و همکاران (۲۰۰۶) بیان داشتند که با وجود توانایی نانوذرات در واکنش مستقیم با برخی پروتئین‌های سلولی همچون پروتئین‌های تقسیم سلولی، قادر به واکنش فیزیکی با مولکول DNA نمی‌باشند. لذا، تاثیرپذیری مستقیم DNA ناشی از اتصال نانوذرات روی با آن را می‌توان تنها در حد یک فرضیه در نظر گرفت که نیازمند تحقیقات بیشتر در این راستا می‌باشد. القای آسیب DNA ناشی از مواجهه با نانوذرات ممکن است به دلیل تاثیرپذیری سیستم ترمیمی DNA نیز باشد (Jaiswal و همکاران، ۲۰۰۰؛ Salianni و همکاران، ۲۰۱۶ و Singh، ۲۰۱۷). متسفانه اطلاعات خاصی درخصوص امکان تاثیرپذیری مستقیم سیستم ترمیمی DNA در آبزیان وجود ندارد اما با توجه به مطالعات صورت گرفته روی مدل‌های پستاندار

بحث

رشد کشاورزی، صنعت و استفاده از مواد شیمیایی تجاری طی سال‌های گذشته منجر به افزایش بروز بیماری‌ها، اختلالات ژنتیکی و حتی مرگ و میر در موجودات مختلف گشته است. در سراسر جهان، هزاران آلاینده مختلف وارد محیط‌های آبی می‌گردد (Ullah و همکاران، ۲۰۱۷). در این میان، نانوذرات فلزی به دلیل ویژگی‌های خاص خود طی سال‌های اخیر به طور گسترده‌ای تولید و در صنایع مختلف استفاده شده‌اند، که این امر احتمال مواجهه بشر و محیط زیست با این مواد را افزایش داده است (Mohamed Ramadan و Mohamed Ramadhan، ۲۰۱۶). برخی مطالعات آزمایشگاهی نشان داده که نانوذرات می‌توانند با القای پاسخ‌های سلولی، تحریک‌سلول‌های هدف و در نتیجه ایجاد ترکیباتی با ظرفیت ژنوتوكسیک یا اکسیدانی باعث بروز فرایندهای التهابی و اکسیداتیو گردد. علاوه بر این، نانوذرات ممکن است طی میتوуз و یا از طریق واکنش با DNA داخل هسته باعث آسیب ژنتیکی در موجودات زنده گردد (Karlsson، ۲۰۱۰؛ Tripathi و Bhattacharya، ۲۰۱۱). نتایج حاصل از پژوهش حاضر نشان داد که مواجهه با نانوذرات اکسید روی منجر به القای آسیب DNA در ماسل *A. cygnea* گردید به نحوی که مقادیر پارامترهای طول، مومنتوم و درصد DNA دنباله و همچنین شاخص آسیب ژنتیکی در تیمارهای مواجه شده با نانوذرات روی نسبت به گروه شاهد به طور معنی‌داری افزایش نشان داد. در این میان، بافت هپاتوبانکراس در مقایسه با بافت آبشیش حساسیت بالاتری نسبت به سمیت نانو اکسید روی نشان داد که این امر می‌تواند مرتبط با تفاوت در مکانیسم‌های دفاعی و ترمیمی DNA در بافت‌های مختلف باشد. نتایج حاصل از پژوهش

در پژوهش حاضر، علاوه بر SCGE فراوانی ریزه‌سته‌ها نیز جهت ارزیابی پتانسیل ژنتوکسیک نانوذرات روی تعیین گردید. ریزه‌سته‌ها تحت آسیب DNA و سیستم ترمیمی آن، از قطعات کروموزومی نامتران یا کل کروموزوم منتشا می‌گیرند که بدلیل ناهنجاری طی مرحله جداسدن در میتوز، وارد سلول‌های دختری نمی‌شوند Fenech، ۲۰۰۶). در پژوهش حاضر، مواجهه با نانوذرات روی منجر به القای بروز ریزه‌سته‌ها در ماسل *A. cygnea* و همکاران Pati، ۲۰۱۶) در این مطالعه خود بر روی موش‌های بالغ، بیان نمودند که مواجهه با نانوذرات اکسید روی منجر به القای بروز ریزه‌سته‌ها گردید. هم‌چنین، Asghar و همکاران (۲۰۱۶) افزایش واپسیت به غلظت در بروز ریزه‌سته‌ها در ماهی *Catla catla* تحت مواجهه با نانوذرات روی را گزارش نمودند. نتایج Asghar و همکاران (۲۰۱۶) در تطابق با نتایج پژوهش حاضر می‌باشد که با افزایش غلظت نانوذرات، فراوانی ریزه‌سته‌های نیز روند افزایشی نشان داد. بروز ریزه‌سته‌هار امی توان نشانه‌ای از القای آسیب ژنومی در سطح کروموزوم و یا آسیب DNA در نظر گرفت (Saleh و Miander Ahmed، ۲۰۰۹؛ ۲۰۱۰). در مجموع، نتایج حاصل از پژوهش حاضر نشان داد قراردادن ماسل *A. cygnea* در مواجهه با نانوذرات روی منجر به بروز ریزه‌سته‌ها و القای آسیب DNA گردید. هم‌چنین سطح آسیب ژنتیکی مشاهده شده در ماسل‌ها به غلظت و زمان مواجهه با نانوذرات واپسیت بود. لذا با توجه به نتایج حاضر، می‌توان بیان داشت که نانو اکسید روی دارای اثرات ژنتوکسیک بالقوه بر ماسل *A. cygnea* می‌باشد. در این راستا، با درنظر گرفتن عدم وجود اطلاعات کافی، تحقیقات بیشتر جهت نمایان ساختن مکانیسم‌های دقیق ژنتوکسیستی نانوذرات روی در آبزیان مهم به نظر می‌رسد.

منابع

1. Ahamed, M.; Siddiqui, M.A.; Akhtar, M.J.; Ahmad, I.; Pant, A.B. and Alhadlaq, H.A., 2010. Genotoxic potential of copper oxide nanoparticles in human lung epithelial cells. Biochem. Biophys. Res. Commun. Vol. 396, pp: 578-583.
2. Asghar, M.S.; Qureshi, N.A.; Jabeen, F. and Khan, S., 2016. Genotoxicity and oxidative stress analysis in the *Catla catla* treated with ZnO NPs. JBES. Vol. 8, pp: 91-101.
3. Baker, T.J.; Tyler, C.R. and Galloway, T.S., 2014. Impacts of metal and metal oxide nanoparticles on marine organisms. Environ. Pollut. Vol. 186, pp: 257-271.
4. Bhatt, I. and Tripathi, B.N., 2011. Interaction of engineered nanoparticles with various components of the environment and possible strategies for their risk assessment. Chemosphere. Vol. 82, pp: 308-317.
5. Bogotska, K.I.; Sklyarov, Y.P. and Ptrylutsky, Y.I., 2013. Zinc and zinc nanoparticles: biological role and application in biomedicine. Ukr. Bioorg. Acta. Vol. 1, pp: 9-16.
6. Canesi, L.; Ciacci, C.; Fabbris, R.; Marcomini, A.; Pojana, G. and Gallo, G., 2012. Bivalve molluscs as a unique target group for nanoparticle toxicity. Mar. Environ. Res. Vol. 76, pp: 16-21.
7. Chojnicki, J.C.; Grzeszczyk-Kowalska, A. and Buczek, W., 2009. Biometrics of the swan mussels *Anodonta cygnea* in the southwest part of the Szczecin Lagoon in 2007. EJPAU. Vol. 12, No. 4, pp: #02.
8. Chojnicki, J.C.; Rosinska, B.; Rudkiewicz, J. and Smola, M., 2011. Biometrics of the Swan Mussel *Anodonta cygnea*. Polish J. of Environ. Stud. Vol. 20, No. 1, pp: 225-230.

مبنی بر توانایی نفوذ نانوذرات به درون هسته سلول این فرضیه را نادیده نیز نمی‌توان گرفت. در این راستا، Pati و همکاران (۲۰۱۶) در مطالعه خود بر روی موش‌های بالغ، جلوگیری از مکانیسم تعمیر DNA ناشی از کاهش سطح بیان پروتئین‌های Fen-1 و PolB تحت مواجهه با نانوذرات روی را گزارش نمودند. به‌هرحال، تاثیرپذیری مستقیم سیستم ترمیمی DNA در اثر مواجهه با نانوذرات مس را می‌توان به عنوان یک فرضیه مطرح نمود که نیازمند تحقیقات بیشتر در این زمینه می‌باشد. علاوه بر روش مستقیم، نانوذرات مس ممکن است به صورت غیرمستقیم از طریق القای واسطه‌ها نیز باعث آسیب DNA شوند. در این خصوص، القای استرس اکسیداتیو به عنوان یک مکانیسم بالقوه برای آسیب‌های ناشی از مواجهه با نانوذرات در نظر گرفته می‌شود (Saliani و همکاران، ۲۰۱۶). مطالعات صورت گرفته روی سلول‌های انسانی حاکی از آن بوده که احتمالاً آسیب وارد شده ناشی از نانوذرات به بیشتر از طریق آسیب اکسیداتیو صورت می‌گیرد تا واکنش مستقیم با آن (Ahmed و همکاران، ۲۰۰۹؛ Miander، ۲۰۱۰). در واقع، براساس اطلاعات موجود، استرس اکسیداتیو را می‌توان به عنوان عامل عملده در بروز سمیت ژنتیکی نانوذرات در نظر گرفت (Baker و همکاران، ۲۰۱۴). در این راستا، Gagnon و همکاران (۲۰۱۶) در ارزیابی اثر نانوذرات اکسیداتیو بر ماسل *Elliptio complanata*. القای استرس اکسیداتیو و آسیب DNA را گزارش نمودند. هم‌چنین Sayed و Fahmy (۲۰۱۷) نیز القای استرس اکسیداتیو و ژنتوکسیستی ناشی از مواجهه با نانوذرات اکسیداتیو را در دو کفه‌ای *Coelatura aegyptiaca* تحقیق کردند. تحت شرایط استرس اکسیداتیو، نانوذرات قادر به تولید گونه اکسیژن فعال (ROS) می‌باشند (Park و همکاران، ۲۰۱۱). ROS نیز می‌تواند از طریق واکنش با DNA موجب آسیب به بازها و پیکره DNA گردد Martinez و همکاران، ۲۰۰۳). در واقع، ROS مولکول بسیار فعال بوده که با ماکرومولکول‌های سلولی همچون DNA، چربی‌ها و پروتئین‌ها واکنش داده و هموستانزی محیط درون سلولی را برهم می‌زند Toyokuni و همکاران، ۱۹۹۸). شکل گیری ROS تحت مواجهه با نانوذرات روی در مطالعات قبلی صورت گرفته روی مدل-های پستاندار توسط Pati و همکاران (۲۰۱۴) گزارش شده است. بنابراین، با توجه به مطالعات صورت گرفته به ویژه روی مدل‌های پستاندار، استرس اکسیداتیو را می‌توان به عنوان یک عامل مهم احتمالی در بروز آسیب DNA در نظر گرفت. به‌هرحال، با توجه به این که اطلاعات واضحی در خصوص مکانیسم دقیق شکست ناشی از مواجهه با نانوذرات اکسید مس در آبزیان وجود ندارد، مطالعات بیشتر جهت نمایان ساختن مکانیسم‌های دقیق دخیل در بروز شکست DNA در آبزیان مهم به نظر می‌رسد.



- micrometer-sized copper and copper (II) oxide particles: a cross-disciplinary study. *Small.* Vol. 5, No. 3, pp: 389-399.
٢٢. Oberdorster, G.; Oberdorster, E. and Oberdorster, J., 2005. Nanotoxicology: an emerging discipline evolving from studies of ultrafine particles. *Environ. Health Perspect.* Vol. 113, No. 7, pp: 823-39.
٢٣. Park, S.J.; Park, Y.C.; Lee, S.W.; Jeong, M.S.; Yu, K.N. and Jung, H., 2011. Comparing the toxic mechanism of synthesized zinc oxide nanomaterials by physicochemical characterization and reactive oxygen species properties. *Toxicol. Lett.* Vol. 207, No. 3, pp: 197-203.
٢٤. Pati, R.; Mehta, R.K.; Mohanty, S.; Padhi, A.; Sengupta, M.; Vaseeharan, B.; Goswami, C. and Sonawane, A., 2014. Topical application of zinc oxide nanoparticles reduces bacterial skin infection in mice and exhibits antibacterial activity by inducing oxidative stress response and cell membrane disintegration in macrophages. *Nanomedicine.* Vol. 10, pp: 1195-1208.
٢٥. Pati, R.; Das, I.; Mehta, R.K.; Sahu, R. and Sonawane, A., 2016. Zinc-oxide nanoparticles exhibit genotoxic, clastogenic, cytotoxic and actin depolymerization effects by inducing oxidative stress responses in macrophages and adult mice. *Toxicol. Sci.* Vol. 150, No. 2, pp: 454-472.
٢٦. Pourang, N.; Richardson, C.A. and Mortazavi, M.S., 2009. Heavy metal concentrations in the soft tissues of swan mussel (*Anodonta cygnea*) and surficial sediments from Anzali wetland, Iran. *Environ. Monit. Assess.* Vol. 163, No. 1-4, pp: 195-213.
٢٧. Ramadan, H. and Mohamed, H., 2016. Studies on the genotoxicity behavior of silver nanoparticles in the presence of heavy metal cadmium chloride in mice. *J. Nanomater.* Vol. 2016, pp: 1-12.
٢٨. Rosinska, B.; Chojnicki, J.C.; Lewandowska, A.; Matiejczuk, A. and Samiczkak, A., 2008. Biometrics of swan mussels (*Anodonta cygnea*) from chosen lakes in Pomeranian Region. *Limnol. Rev.* Vol. 8, No. 1-2, pp: 79-84.
٢٩. Royal Commission on Environmental Pollution, 2008. Novel Materials in the Environment: The case of nanotechnology. London UK: Royal Commission.
٣٠. Sabir, S.; Arshad, M. and Chaudhari, S.K., 2014. Zinc oxide nanoparticles for revolutionizing agriculture: synthesis and applications. *Sci. World J.* Vol. 2014, pp: 1-8.
٣١. Saleh, K. and Sarhan, M.A.A., 2007. Clastogenic analysis of chicken forms using micronucleus test in peripheral blood. *J. Appl. Sci. res.* Vol. 3, No. 12, pp: 1646-1649.
٣٢. Saliani, M.; Jalal, R. and Goharshadi, E.K., 2016. Mechanism of oxidative stress involved in the toxicity of ZnO nanoparticles against eukaryotic cells. *Nanomed. J.* Vol. 3, No. 1, pp: 1-14.
٣٣. Simberloff, D., 2012. Sustainability of biodiversity under global changes, with particular reference to biological invasions. In: Weinstein MP, Turner RE, editors. Sustainability science: The emerging paradigm and the urban environment. New York: Springer, pp: 139-157.
٣٤. Singh, N.; Nelson, B.C.; Scanlan, L.D.; Coskun, E.; Jaruga, P. and Doak, S.H., 2017. Exposure to Engineered Nanomaterials: Impact on DNA Repair Pathways. *Int. J. Mol. Sci.* Vol. 18, pp: 1-15.
٣٥. Siu, W.H.L.; Caob, J.; Jack, R.W.; Wu, R.S.S.; Richardson, B.J.; Xu, L. and Lam, P.K.S., 2004. Application of the comet and micronucleus assays to the detection of B[a]P genotoxicity in haemocytes of the green lipped mussel. *Aquat. Toxicol.* Vol. 66, pp: 381-392.
٣٦. Sousa, R.; Varandas, S.; Cortes, R.; Teixeira, A.; Lopes Lima, M.; Machado, J. and Guilhermino, L., 2012. Massive die-offs of freshwater bivalves as resource pulses. *Int. J. Limnol.* Vol. 48, pp: 105-112.
٣٧. Tice, R.R.; Agurell, E.; Anderson, D.; Burlinson, B.; Hartmann, A.; Kobayashi, H.; Miyamae, Y.; Rojas, E.; Ryu, J.C. and Sasaki, Y.F., 2000. Single cell gel/comet assay: guidelines for in vitro and in vivo genetic toxicology testing. *Envi. Mol. Mutagen.* Vol. 35, pp: 206-221.
٣٨. Toyokuni, S., 1998. Oxidative stress and cancer: the role of redox regulation. *Biotherapy.* Vol. 11, No. 2-3, pp: 147-154.
٣٩. Ullah, S.; Begum, M.; Ahmad, S. and Dhami, K., 2016. Genotoxic effect of Endosulfan at sublethal concentrations in Mori (*Cirrhinus mrigala*) fish using single cell gel electrophoresis assay. *Int. J. Pharm.* Vol. 12, pp: 169-176.
٤٠. Ullah, S.; Hasan, Z.; Zorriehzahra, M.J. and Ahmad, S., ٢٠١٤. Diagnosis of endosulfan induced DNA damage in rohu using comet assay. *IIFS.* Vol. 16, No. 1, pp: 138-149.
٤١. Vaghun, C.C., 2010. Biodiversity Losses and Ecosystem Function in Freshwaters: Emerging Conclusions and Research Directions. *BioScience.* Vol. 60, pp: 25-35.
٤٢. VROM (Ministry of Housing Spatial Planning and the Environment), 2008. Risk Assessment - Zinc Oxide Part 1: Environment. Bilthoven, Netherlands.
٤٣. Zhao, X.; Wang, S.; Wu, Y.; You, H. and Lv, L., 2013. Acute ZnO nanoparticles exposure induces developmental toxicity, oxidative stress and DNA damage in embryo-larval zebrafish. *Aquat. Toxicol.* Vol. 136, pp: 49-59.
٤. Daughton, C.G., 2004. Non-regulated water contaminants: emerging research. *Environ. Impact Assess. Rev.* Vol. 24, pp: 711-732.
٥. Dhawan, A.; Bajpayee, M. and Parmar, D., 2009. Comet assay: a reliable tool for the assessment of DNA damage in different models. *Cell. Biol. Toxicol.* Vol. 9, pp: 5-32.
٦. Dumont, E.; Johnson, A.C.; Keller, V.D.J. and Williams, R.J., 2015. Nano silver and nano zinc-oxide in surface waters - Exposure estimation for Europe at high spatial and temporal resolution. *Environ. Pollut.* Vol. 196, pp: 341-349.
٧. Eskandari, S.; Mozdarani, H.; Mashinchian, A.; Moradi, M. and Shahhosseini, H., 2012. Cytogenetic damage induced by crude oil in *Anodonta cygnea* (mollusca, bivalvia) assessed by the comet assay and micronucleus test. *IJMSE.* Vol. 2, No. 4, pp: 215-224.
٨. Fahmy, S. and Sayed, D. E., 2017. Toxicological perturbations of zinc oxide nanoparticles in the Coelatura aegyptiaca mussel. *Toxico. Ind. Heal.* Vol. 33, pp: 564-575.
٩. Falfushynska, H.; Gnatyshyna, L.; Yurchak, I.; Sokolova, I. and Stolar, O., 2015. The effects of zinc nanooxide on cellular stress responses of the freshwater mussels *Unio tumidus* are modulated by elevated temperature and organic pollutants. *Aquat. Toxicol.* Vol. 162, pp: 82-93.
١٠. Fenech, M., 2006. Cytokinesis-block micronucleus assay evolves into a cytome assay of chromosomal instability, mitotic dysfunction and cell death. *Mutat. Res.* Vol. 600, pp: 58-66.
١١. Gagne, F.; Turcotte, P.; Auclair, J. and Gagnon, C., 2013. The effects of zinc oxide nanoparticles on the metallome in freshwater mussels. *Comp. Biochem. Physiol.* Vol. 158, pp: 22-28.
١٢. Gagne, F.; Auclair, J.; Trepanier, S.; Turcotte, P.; Pilote, M. and Gagnon, C., 2016. The impact of zinc oxide nanoparticles in freshwater mussels exposed to municipal effluents. *ISJ.* Vol. 13, pp: 281-290.
١٣. Gagnon, C.; Pilote, M.; Turcotte, P.; Andre, C. and Gagne, F., 2016. Effects of exposure to zinc oxide nanoparticles in freshwater mussels in the presence of municipal effluents. *ISJ.* Vol. 13, pp: 140-152.
١٤. Handy, R.; Owen, R. and Vaisam-Jones, E., 2008. The ecotoxicology of nanoparticles and nanomaterials: current status, knowledge gaps, challenges, and future needs. *Ecotoxicology.* Vol. 17, pp: 315-325.
١٥. Gravato, C. and Santos, M.A., 2003. Genotoxicity biomarkers' association with B(a)P biotransformation in *Dicentrarchus labrax* L. *Ecotoxicol. Environ. Saf.* Vol. 55, pp: 352-358.
١٦. Jaiswal, M.; LaRusso, N.F.; Burgart, L.J. and Gores, G.J., 2000. Inflammatory cytokines induce DNA damage and inhibit DNA repair in cholangio carcinoma cells by a nitric oxide dependent mechanism. *Canc Res.* Vol. 60, pp: 184-190.
١٧. Karlsson, H.L., 2010. The comet assay in nanotoxicology research. *Anal. Bioanal. Chem.* Vol. 398, pp: 651-666.
١٨. Konca, K.; Lankoff, A.; Banasik, A.; Lisowska, H.; Kuszewski, T.; Gozdz, S.; Koza, Z. and Wojcik, A.A., 2003. Cross-platform public domain PC image-analysis program for the comet assay. *Mut. Res.* Vol. 534, pp: 15-20.
١٩. Koppii, G., 2011. The endangered swan mussel *Anodonta cygnea* (Linnaeus, 1758) is threatened by the common otter *Lutra lutra*. *Folia Malacol.* Vol. 19, No. 3, pp: 191-192.
٢٠. Lanzano, T.; Bertram, M.; de Palo, M.; Wagner, C.; Zyla, K. and Graedel, T.E., 2006. The contemporary European silver cycle. *Resour. Conserv. Recy.* Vol. 46, pp: 27-43.
٢١. Li, K.; Zhao, X.; Hammaer, B.K.; Du, S. and Chen, Y., 2013. Nanoparticles Inhibit DNA Replication by Binding to DNA: Modeling and Experimental Validation. *ACS Nano.* Vol. 7, No. 11, pp: 9664-9674.
٢٢. Li, J., 2016. Comparative behavior of nano ZnO, bulk ZnO and ionic zinc in marine environment and effect upon biological target organisms such as primary producers (marine algae *Tetraselmis suecia* and *Phaeodactylum tricornutum*) and filter feeder (Mediterranean mussels *Mytilus galloprovincialis*) chronically exposed. Ph.D. Thesis, University of Degli Studi Napoli. 119 P.
٢٣. Lydeard, C.; Cowie, R.H.; Ponder, W.F.; Bogan, A.E.; Bouchet, P.; Clark, S.A.; Cummings, K.S.; Frest, T.J.; Gargominy, O.; Herbert, D.G.; Hershler, R.; Perez, K.E.; Roth, B.; Seddon, M.; Strong, E.E. and Thompson, F.G., 2004. The Global decline of nonmarine mollusks. *Bioscience.* Vol. 54, No. 4, pp: 321-328.
٢٤. Ma, L.; Liu, B.; Huang, P.; Zhang, X. and Liu, J.I., 2016. DNA Adsorption by ZnO Nanoparticles near Its Solubility Limit: Implications for DNA Fluorescence Quenching and DNAzyme Activity Assays. *Langmuir.* Vol. 32, pp: 5672-5680.
٢٥. Martinez, G.R.; Loureiro, A.P.M.; Marques, S.A.; Miyamoto, S.; Yamaguchi, L.F. and Onuki, J., 2003. Oxidative and alkylating damage in DNA. *Mutat. Res.* Vol. 544, No. 2, pp: 115-127.
٢٦. Midander, K.; Cronholm, P.; Karlsson, H.L.; Elihn, K.; Moller, L.; Leygraf, C. and Wallinder, I.O., 2009. Surface characteristics, copper release, and toxicity of nano-and

